

思考题讨论

- 思考题5.3 证明 $d\mathbf{F}'_{12} - d\mathbf{F}_{12} = d[kI_1I_2(d\mathbf{l}_2 \cdot \mathbf{r}_{12})\mathbf{r}_{12} / r_{12}^3]$.
- 思考题5.4 电场线管内场线的根数会改变吗？

思考题5.4 证明 $d\mathbf{F}'_{12} - d\mathbf{F}_{12} = d[kI_1I_2(d\mathbf{l}_2 \cdot \mathbf{r}_{12})\mathbf{r}_{12} / r_{12}^3]$.

Hint: 对回路1积分时 \mathbf{r}_2 不变, $d\mathbf{r}_{12}=d(\mathbf{r}_2-\mathbf{r}_1)=-d\mathbf{r}_1=-d\mathbf{l}_1$

$$\begin{aligned}
 & d\mathbf{F}'_{12} - d\mathbf{F}_{12} \\
 = & -kI_1I_2\mathbf{r}_{12} \left[\frac{2(d\mathbf{l}_1 \cdot d\mathbf{l}_2)}{r_{12}^3} - \frac{3(d\mathbf{l}_1 \cdot \mathbf{r}_{12})(d\mathbf{l}_2 \cdot \mathbf{r}_{12})}{r_{12}^5} \right] \\
 & - kI_1I_2 \frac{(d\mathbf{l}_2 \cdot \mathbf{r}_{12})d\mathbf{l}_1 - (d\mathbf{l}_2 \cdot d\mathbf{l}_1)\mathbf{r}_{12}}{r_{12}^3} \\
 = & kI_1I_2 \left[-\frac{(d\mathbf{l}_1 \cdot d\mathbf{l}_2)\mathbf{r}_{12}}{r_{12}^3} - \frac{(d\mathbf{l}_2 \cdot \mathbf{r}_{12})d\mathbf{l}_1}{r_{12}^3} + \frac{3(d\mathbf{l}_1 \cdot \mathbf{r}_{12})(d\mathbf{l}_2 \cdot \mathbf{r}_{12})\mathbf{r}_{12}}{r_{12}^5} \right] \\
 = & d[kI_1I_2(\mathbf{r}_{12} \cdot d\mathbf{l}_2)\mathbf{r}_{12} / r_{12}^3] \text{ (Hint: } d\mathbf{r}_{12} = \mathbf{r}_{12} \cdot d\mathbf{r}_{12} / r_{12} \text{)}
 \end{aligned}$$

第十九讲 2022-05-05

第5章 真空中的静磁场

§ 5.1 磁现象与磁场

§ 5.2 毕奥—萨伐尔定律

§ 5.3 安培定律

§ 5.4 静磁场的基本定理

§ 5.5 带电粒子在磁场中的运动

5. 安培环路定理应用举例 (一维对称体系)

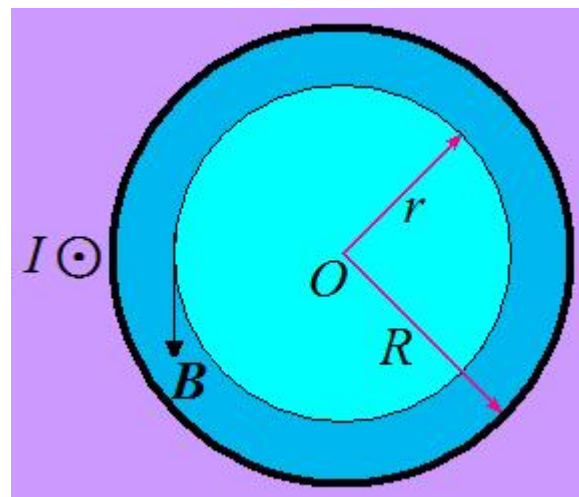
[例5.5] 一无限长直圆柱导线，截面半径为 R ，电流 I 沿截面均匀分布，求导线内、外的磁场分布。

[解] 根据电流分布的轴对称性， B 沿图示环向，大小只与离轴线的距离有关。设圆回路 L 的半径为 r ，则由安培环路定理得

$$\oint_L \mathbf{B} \cdot d\mathbf{l} = 2\pi r B = \mu_0 I',$$

其中 I' 为穿过圆回路 L 的电流。易证

$$\begin{aligned} r < R \text{ 时, } I' &= I r^2 / R^2, \rightarrow B = \mu_0 I r / (2\pi R^2), \\ r \geq R \text{ 时, } I' &= I, \rightarrow B = \mu_0 I / (2\pi r). \end{aligned}$$



[例5.6] 设一无限长螺线管单位长度上的匝数为 n ，电流强度为 I ，求管内、外的磁场。

[解]由电流分布的轴对称性可判断管内 B 只有轴向分量，大小只与场点离轴线的距离 r 有关。

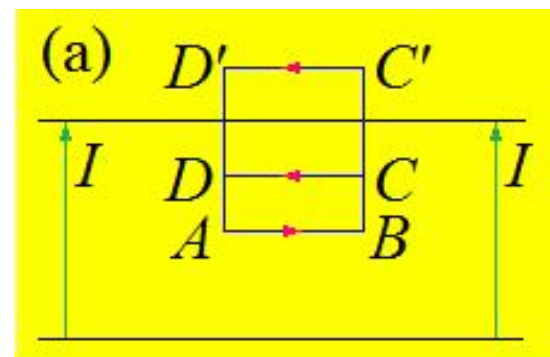
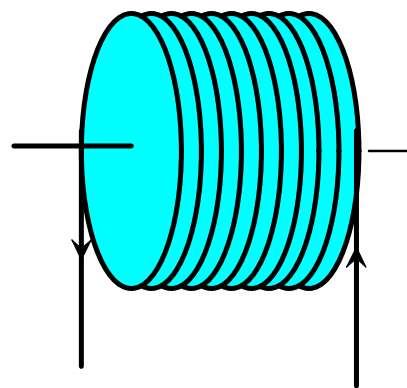
取矩形回路 $ABCD$ 和 $ABC'D'A$ ， AB 位于管轴上， CD 和 $C'D'$ 分别位于管内、外(图a)。由例5.4，轴线上 $B=\mu_0 nI$ 。

对回路 $ABCD$ 应用安培环路定理得

$$-\mu_0 nI \overline{AB} + B_i(r) \overline{CD} = 0, \quad \overline{AB} = \overline{CD}$$

$$\therefore B_i(r) = \mu_0 nI。$$

→无限长螺线管内部轴向磁场均匀。



对回路 $ABC'D'A$ 应用安培环路定理得

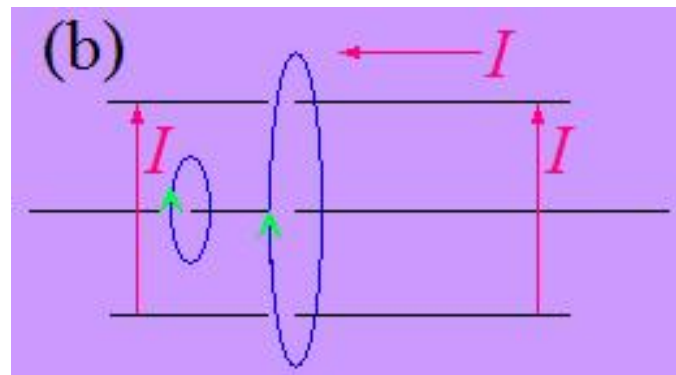
$$-\mu_0 n I \overline{AB} + B_{e//}(r) \overline{C'D'} = -\mu_0 n I \overline{AB}, \quad \therefore B_{e//}(r) = 0,$$

即无限长螺线管外部轴向磁场处处为零。

另一方面，螺线管存在一自右向左的等效轴向电流 I (图b)，可视为沿螺线管表面均匀分布，由它产生的磁感应强度沿环向。选择同螺线管共轴的圆回路并应用安培环路定理，可得管内 $B_{i\perp}=0$ ，管外 $B_{e\perp}=\mu_0 I/2\pi r$ 。

结论：无限长螺线管

- 内部磁场 // 轴线，均匀分布；
- 外部磁场同无穷长直线电流。



[例5.7] 电流均匀分布在一无穷大平面导体薄板上，面电流密度为 i ，求空间磁场分布。

[解] 设导体板位于 y - z 平面，电流沿 z 方向。由对称性， B 只有 y 分量，大小只与 x 有关，且 $B(x)=-B(-x)$ 。

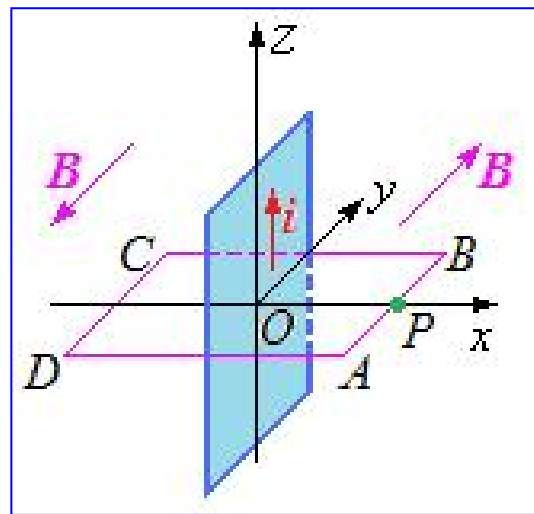
考虑 x 轴上一点 P ，以 O 为中心，在 x - y 平面过点 P 作矩形回路 $ABCD$ ，应用安培环路定理可得

$$B(x)2\overline{AB} = \mu_0 i \overline{AB}.$$

$$\rightarrow B(x) = \mu_0 i / 2.$$

→无穷大平面电流两侧为等大反向的均匀磁场。

→有限大小面电流：只要 $x \ll$ 面电流尺寸，同上处理。



[例5.8] 绕在圆环上的线圈叫螺绕环，设螺绕环内、外径分别为 R_1 和 R_2 ，总匝数为 N ，电流强度为 I ，求环管内、外的磁场分布。

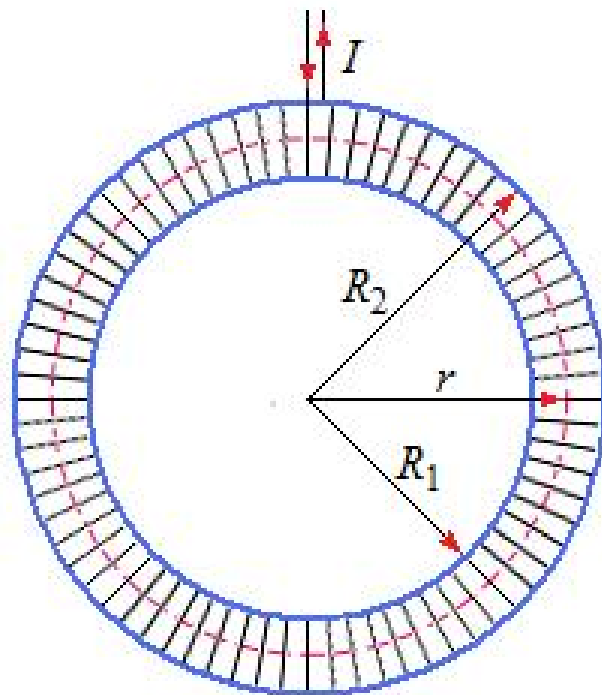
[解] 螺绕环的电流~轴对称分布→ B 沿环向，大小只与离轴线的距离有关。在环管内部取半径为 r 的圆周回路，由安培环路定理得 $2\pi rB = \mu_0 NI$

→环管内 $B = \mu_0 NI / 2\pi r$.

当螺绕环很细时， $R_1 \approx R_2 \approx R$,

$$B = \mu_0 NI / 2\pi R = \mu_0 nI.$$

→细螺绕管内磁场大小近似均匀，
等于无穷长直螺线管的结果。



进一步讨论：

- 如果在螺绕环管外部取一与环共轴的圆周回路，则穿过该回路的总电流为零，由安培环路定理，螺绕环管外部的环向磁场处处为零。
- 不过，基于和例5.6类似的理由，螺绕环存在一逆时针方向的等效环向电流 I ，该电流沿环管表面分布。对于细螺绕环，该环向电流在管外的磁场与一电流强度 I 、半径 R 的圆线圈的磁场相同。

§ 5.5 带电粒子在磁场中的运动

1. 带电粒子在磁场中运动的特点

1) 洛仑兹力不作功

- 带电粒子在磁场中受到洛仑兹力，其功率为

$$F \cdot v = (q v \times B) \cdot v = 0.$$

可见洛仑兹力不作功。

- 由于能量守恒，在洛仑兹力作用下，粒子的动能和速率不会改变，变化的只是粒子速度的方向。

2) 在均匀磁场中

- 粒子的运动方程为 $m \frac{d\mathbf{v}}{dt} = q\mathbf{v} \times \mathbf{B}$
- 设 \mathbf{B} 沿 z 方向, 即 $\mathbf{B} = B_z \mathbf{e}_z$, $B_x = B_y = 0$, 上式的分量式为

$$\begin{cases} m\ddot{x} = qB\dot{y}, \\ m\ddot{y} = -qB\dot{x}, \\ m\ddot{z} = 0. \end{cases}$$

- 定义 $\omega_L = qB/m$, 则上述方程可化为

$$\begin{cases} \ddot{x} + \omega_L^2 \dot{x} = 0, \\ \ddot{y} + \omega_L^2 \dot{y} = 0, \\ \ddot{z} = 0. \end{cases}$$

- 易得解

$$\begin{cases} \dot{x} = v_{\perp} \cos(\omega_L t + \delta), \\ \dot{y} = -v_{\perp} \sin(\omega_L t + \delta), \\ \dot{z} = v_{\parallel} = \text{const.} \end{cases} \quad \begin{cases} x = (v_{\perp} / \omega_L) \sin(\omega_L t + \delta) + x_0, \\ y = (v_{\perp} / \omega_L) \cos(\omega_L t + \delta) + y_0, \\ z = v_{\parallel} t + z_0. \end{cases}$$

其中 v_{\parallel} , δ , x_0 , y_0 , z_0 为积分常数，由初始条件定。

- v_{\perp} 和 v_{\parallel} 分别为垂直及平行于磁场的速度分量。因为 $v = \text{const}$, $v_{\parallel} = \text{const}$, 所以 $v_{\perp} = \text{const}$ 。

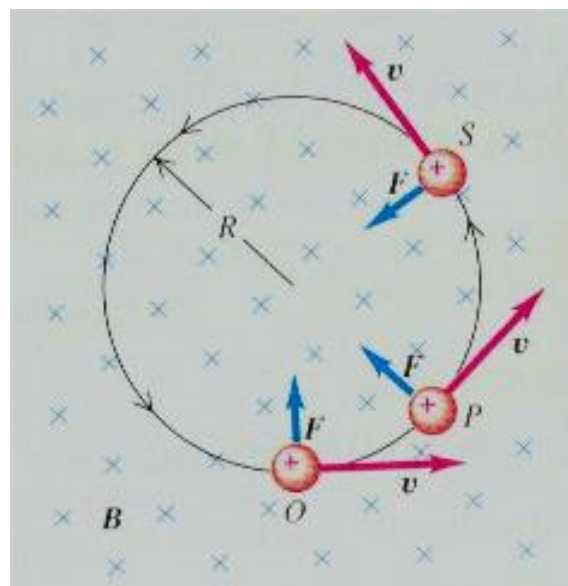
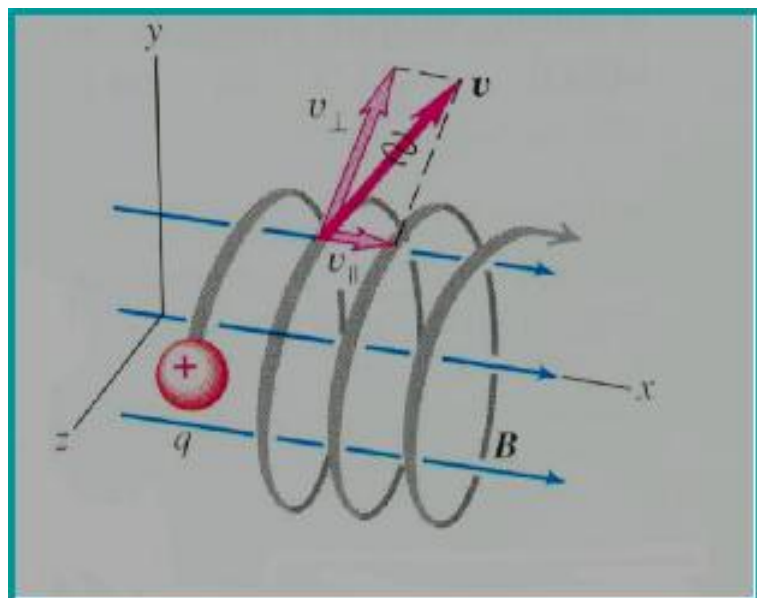
→ 粒子速度与磁场的夹角 (投射角) $\theta = \sin^{-1}(v_{\perp}/v)$ 在粒子运动过程中为常量。

- 由上述解可得

- 磁场中的带电粒子作等距螺旋线运动。
- 轨道在 xy 平面上的投影是圆，回旋半径

$$R = v_{\perp} / \omega_L = v_{\perp} m / qB。$$

- 粒子回旋角频率 $\omega_L = qB/m$ ，回旋频率 $f = qB/(2\pi m)$ ，回旋周期 $T = 2\pi m/(qB)$ ，均与 v 、 R 无关！



3) 在缓变非均匀磁场中

$$\omega = qB/m \quad R = v_{\perp}/\omega$$

- 若磁场的非均匀尺度 \gg 粒子回旋半径，可近似认为粒子绕 B 线作螺旋运动。但 v_{\parallel} 和 v_{\perp} 不守恒。
- 新守恒量：带电粒子绕磁感应线快速旋转形成圆电流环，其磁矩守恒，称回旋磁矩，大小为

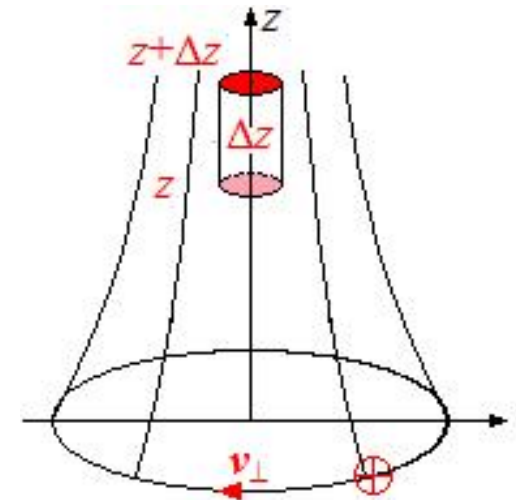
$$\mu = I\Delta S = \frac{q\omega}{2\pi} \pi R^2 = \frac{1}{2} m v_{\perp}^2 / B$$

- 证明：以轴对称缓变非均匀磁场为例

$$\mathbf{B} = B_z \hat{z} + B_r \hat{r}, \quad \mathbf{v} = v_{\parallel} \hat{z} + v_{\perp} \hat{\phi}.$$

取小圆柱形高斯面，由高斯定理

$$B_r 2\pi r \Delta z + [B_z(0, z + \Delta z) - B_z(0, z)] \pi r^2 = 0,$$



$$\therefore B_r = -\frac{r}{2} \lim_{\Delta z \rightarrow 0} \frac{B_z(0, z + \Delta z) - B_z(0, z)}{\Delta z} = -\frac{r}{2} \frac{\partial B_z}{\partial z}.$$

B_r 导致 z 方向有洛伦兹力，运动方程

$$m \frac{dv_{\parallel}}{dt} = qv_{\perp} B_r = -qv_{\perp} \frac{r}{2} \frac{\partial B_z}{\partial z} = -\frac{mv_{\perp}^2}{2B} \frac{\partial B_z}{\partial z} = -\mu \frac{\partial B_z}{\partial z}.$$

可见，粒子受到由强场处指向弱场处的磁压力。

将上式两边同乘以 v_{\parallel} ，又 $\frac{dB}{dt} \approx \frac{\partial B}{\partial z} \frac{dz}{dt} = v_{\parallel} \frac{\partial B}{\partial z}$ ，

$$r = \frac{mv_{\perp}}{qB}$$

$$\therefore \frac{d}{dt} \left(\frac{1}{2} mv_{\parallel}^2 \right) = -\mu \frac{dB}{dt}. \quad (\#)$$

另一方面，由于 $v^2 = v_{//}^2 + v_{\perp}^2$ 守恒，有

$$\begin{aligned}\frac{d}{dt}\left(\frac{1}{2}mv_{//}^2\right) &= -\frac{d}{dt}\left(\frac{1}{2}mv_{\perp}^2\right) \\ &= -\frac{d}{dt}(\mu B) = -B\frac{d\mu}{dt} - \mu\frac{dB}{dt},\end{aligned}$$

上式与上页的(＃)式比较，得

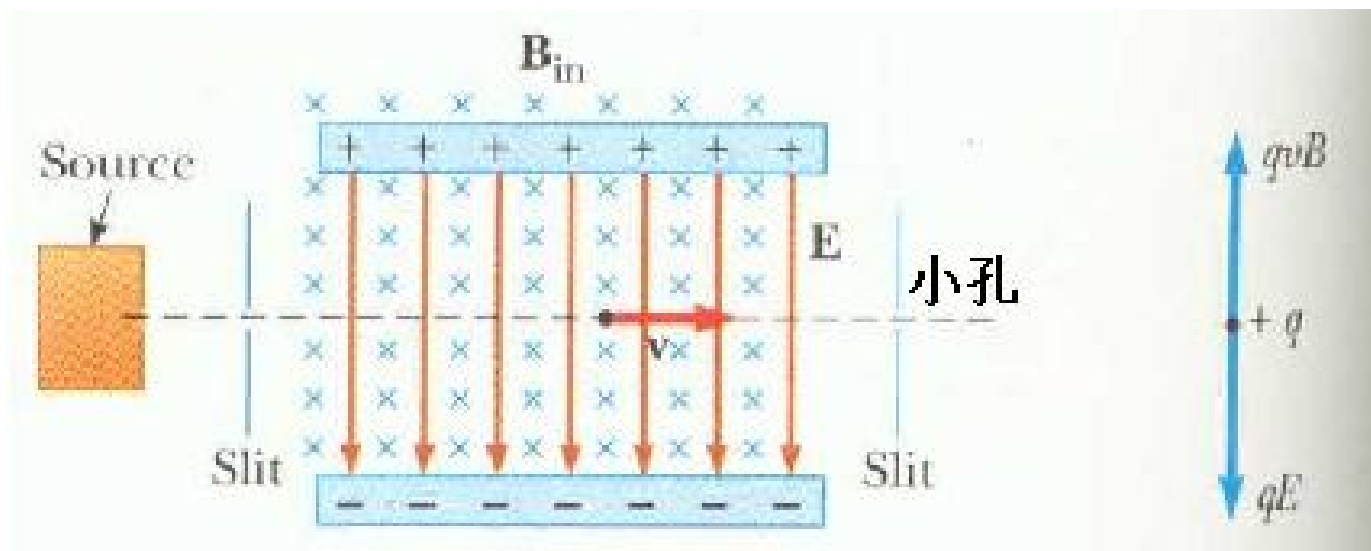
$$\rightarrow \frac{d\mu}{dt} = 0, \quad \mu \text{守恒}.$$

- 更普遍的结论：随时间、空间缓变磁场中，带电粒子的回旋磁矩守恒。

2. 应用举例

1) 速度选择器

一束带电粒子射入相互垂直的均匀电场和均匀磁场。能从小孔穿出的粒子必沿虚线运动，要求电力与磁力平衡， $qE=qvB$ ， $\therefore v=E/B$ 。→该装置只允许特定速率的粒子穿过，无关粒子电荷、质量。

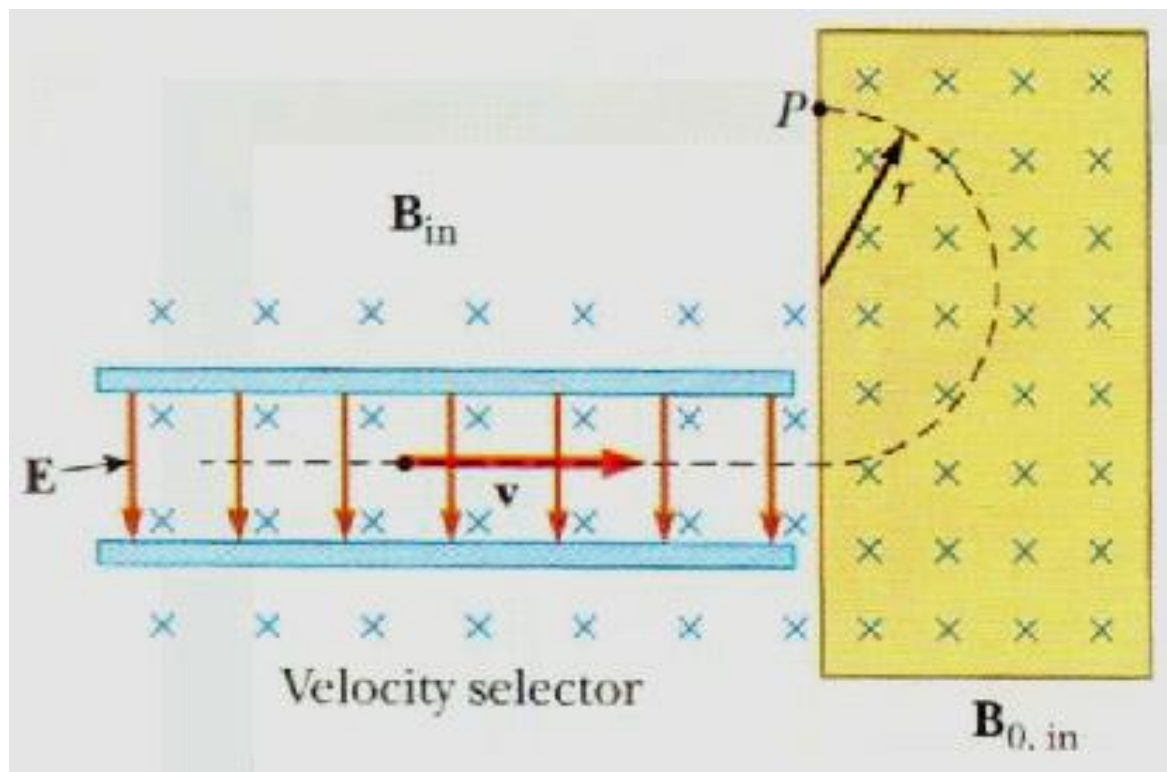


2) 质谱仪

- 基本原理：离子束通过速度选择器，选出特定 v 的离子，进入均匀磁场中作圆运动，回旋半径 R 可

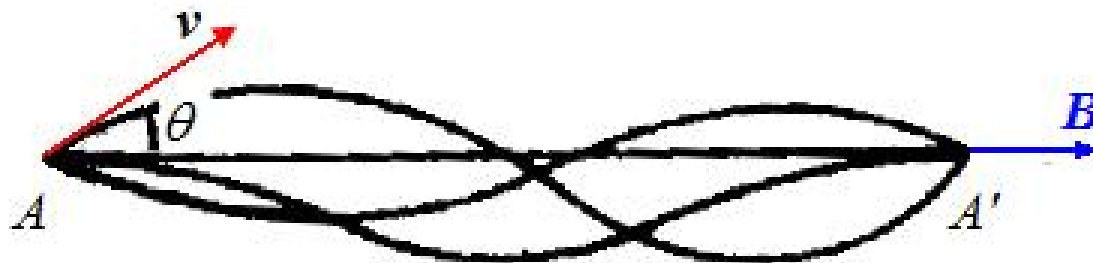
由感光胶片来测得。 B , v , R 已知，由 $q/m = v/(RB)$ 可得粒子的荷质比。

- 应用：质谱仪可利用来分离同位素，分析含量。



3) 磁聚焦

- 若无磁场，离子束中各离子近似直线运动→**发散**。
- 外加均匀磁场，离子束作螺旋线运动，若离子束初始张角较小， $v_{//} \approx$ 常量，离子回旋频率与回旋速度 v_{\perp} 无关，经一个周期沿磁场方向聚一次，不发散。



均匀磁场的磁聚焦

- 离子螺旋运动的螺距

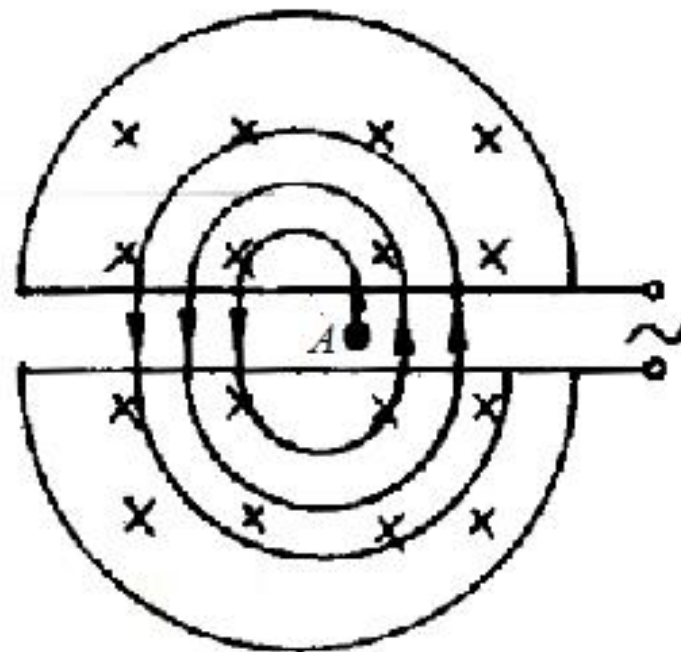
$$h = T v_{//} \approx 2\pi m v / (qB), \quad T = 2\pi m / (qB).$$

4) 回旋加速器

- 利用带电粒子在磁场中运动时回旋周期 T 与粒子速率、回旋半径无关的特点，可以制成回旋加速器。

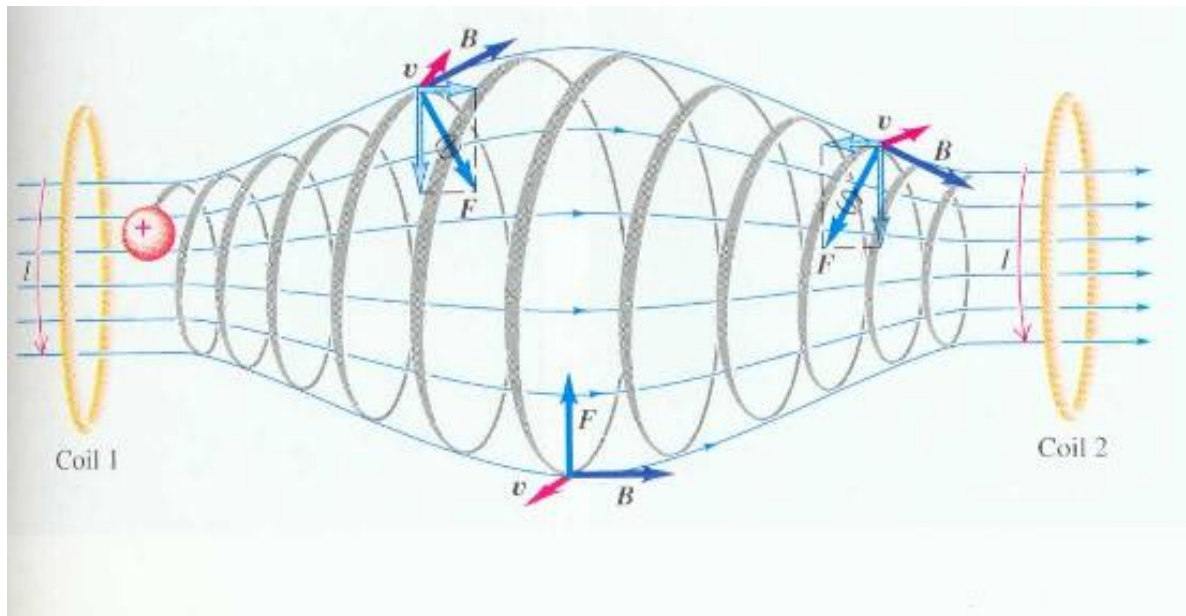
$$T=2\pi m/(qB), R=m v/(qB).$$

- 两个 D 形盒间隙内加有周期等于回旋周期的交变电场，使粒子在穿过间隙时总被电场加速，当粒子获得很高能量后从 D 形盒中引出。
- 注意：**当速度接近光速时，质量随速度变化，且辐射很严重。一般用来加速重离子。



5) 磁约束等离子体

- **磁镜原理**：磁镜装置由两个电流方向相同的线圈组成，产生两端强、中间弱的磁场位形。利用**回旋磁矩守恒**可推出，符合条件的带电粒子运动到两端区域时会被“**反射**”回来，于是被约束在中间区域。

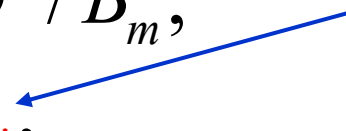


- 由 $\mu = \frac{1}{2} m v_{\perp}^2 / B$ 守恒，粒子在中点 v_{\perp} 最小， v_{\parallel} 最大；由中点向两边运动时， $B \uparrow$ ， $v_{\perp} \uparrow$ ， $v_{\parallel} \downarrow$ ；一种可能：粒子到达镜点时， v_{\parallel} 降至零，不能继续向前运动。受磁压力的作用，粒子作反向螺旋运动。
 → 粒子在磁场中来回运动而不能逃逸。
- 只有投掷角大于临界投掷角 θ_m 的粒子能被捕获，设中心点磁场为 B_0 ，最强磁场为 B_m ，

$$\because \frac{1}{2} m v^2 \sin^2 \theta_m / B_0 = \frac{1}{2} m v^2 / B_m,$$

$$\therefore \sin^2 \theta_m = B_0 / B_m \triangleq 1 / R_{mi},$$

磁镜比


- 磁镜装置可以约束等离子体，如地球大气层中的“范阿伦辐射带”。

6) 托卡马克 (环流器)

是“磁线圈圆环室”的俄文缩写。它类似螺绕环，是由封闭环形磁场构成的环形容器，能约束等离子体。将这个带有等离子体的圆环室作为一个大型变压器的**次级线圈**。当变压器通电后，等离子体内将有很大的电流，造成绕环轴的圆型磁场， $B \propto r$ ，于是，靠环壁的带电粒子受**磁压效应**向环轴集中，达到磁悬浮约束等离子体的目的。

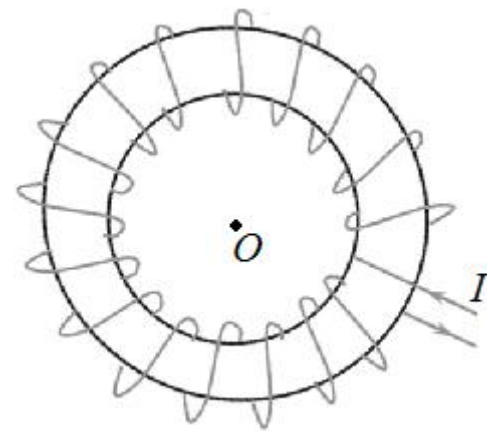


图1. 环流器

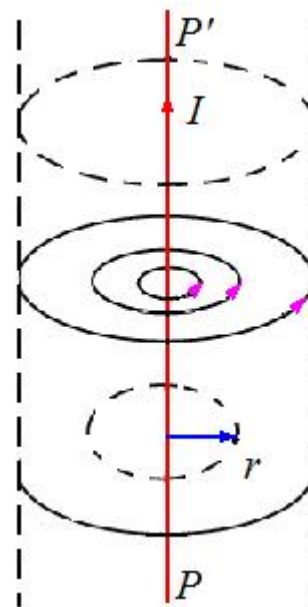
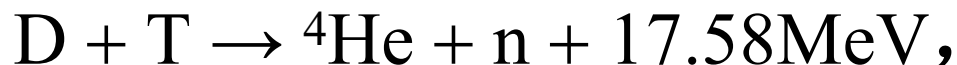


图2. 绕环轴磁场

当等离子体当环内中含大量氘 (D)、氚 (T) 离子，且当等离子体温度达到或高于 10^8K 时，才能发生聚变反应：



释放出大量核能，又称热核聚变反应。

为使这反应能持续进行，还必须使

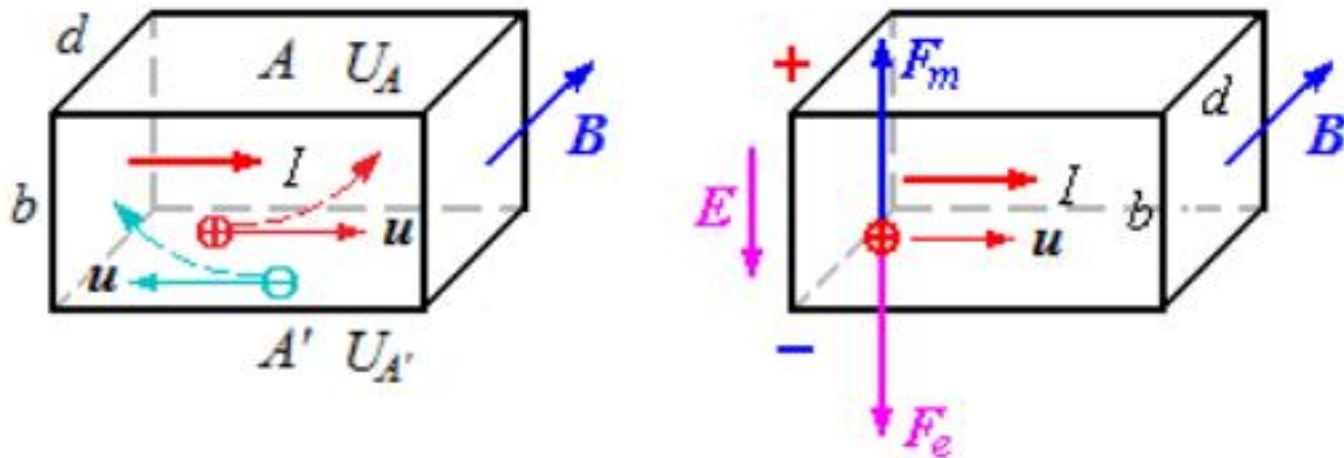
$$n\tau > 3 \times 10^{20} \text{m}^{-3}\text{s}, \text{ 称为劳逊条件。}$$



合肥“人造小太阳”装置—EAST

7) 霍尔效应

- 现象：如图，长方体载流导体+磁场，由于载流子受到外磁场的洛伦兹力发生偏转，使得在与电流 I 和外磁场 B 均垂直的上、下底面之间产生电势差。



- **原理**：仅当磁力与电力**平衡**时，载流子不再偏转。
此时 $E=uB$ ，又 $I=bdnqu$ ，

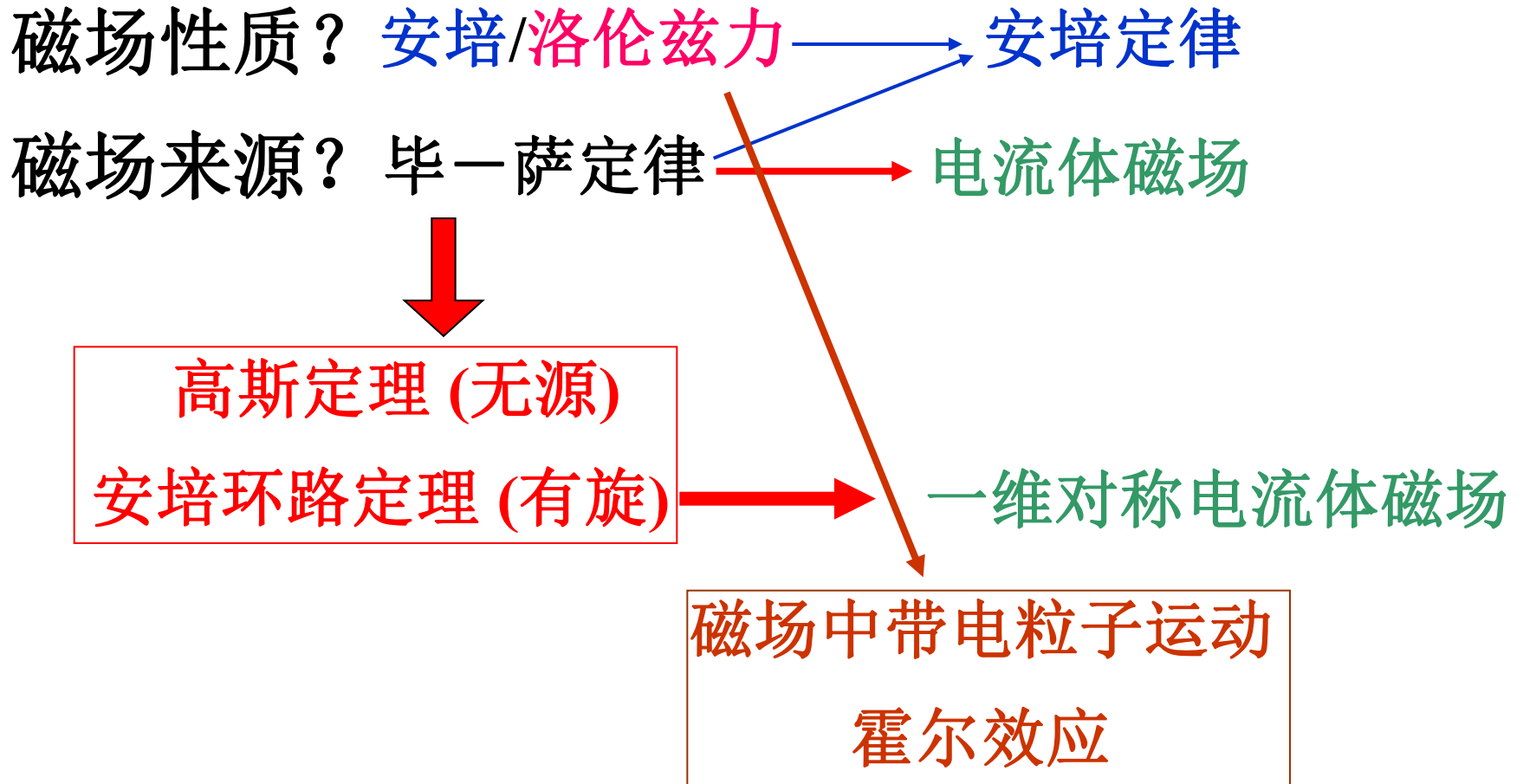
$$\therefore U = Eb = uB \frac{I}{dnqu} = \frac{IB}{nqd} = K \frac{IB}{d},$$

霍尔系数 $K=1/nq$.

- **应用**：
 - 给定 I, B, d ，测 U ，可得 K 。若 q 已知 \rightarrow 载流子浓度 n 。
 - 由上、下板 U 的**正/负**来**判定**载流子的**正/负**。
 - 已知材料的 K, d, I ，测 U ，可得**磁场**。
 - 用其原理设计**磁流体发电机**。

存在两种载流子时的霍耳系数？

第5章小结



作业、预习及思考题

- 作业： 5.10~5.18
- 预习： 6.1~6.4
- 思考题5.5 质量为 m 、均匀带电为 q 的圆环沿水平面以速度 v 做无滑滚动，加上垂直于环面的水平均匀磁场 B 后，求环所受磁力。
- 思考题5.6 求存在两种载流子时的霍耳系数。
(提示见下页)

思考题5.6 的思路

- Hall系数的符号决定于主导载流子。
- 存在两种载流子时如何表示Hall系数？ K_1 和 K_2 的某种组合，如 $1/(n_1q_1)+1/(n_2q_2)$ 或 $1/(n_1q_1+n_2q_2)$ ，甚至更复杂的形式？
- 由于 $E=v_1B$ 和 $E=v_2B$ 无法同时满足，模仿单一载流子的推导不可行，Hall系数不可能是上述形式。
- 关键：将单一载流子平衡时横向受力为零这一条件拓展为横向电流为零。前者只是后者的特例。